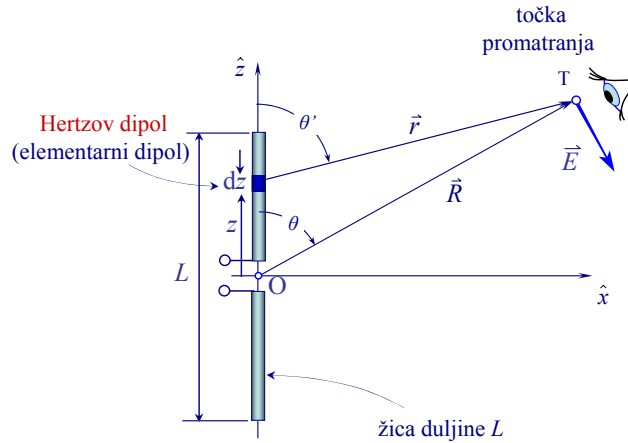




Žičane antene (1)

- Polja
- Dijagram zračenja
- Polarizacija
- Zračena snaga
- Impedancija
- Usmjerenost
- Efektivna površina (duljina i visina)

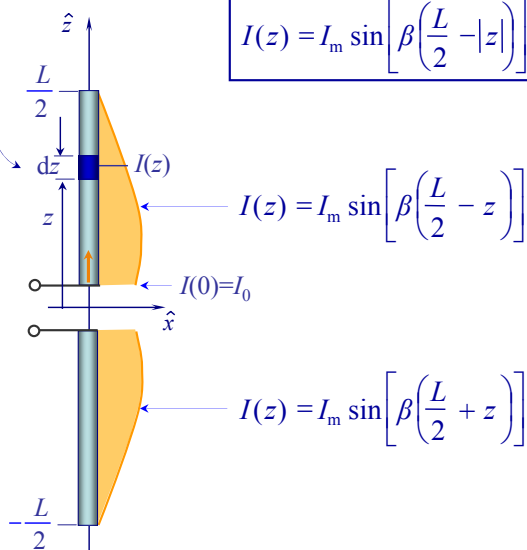


Žičane antene (2)

Razdioba struje na žici

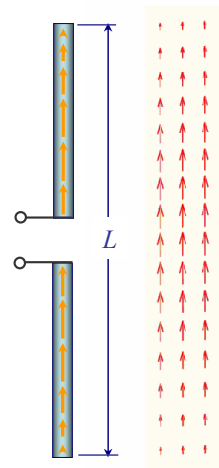
Hertzov dipol (elementarni dipol)

$$I(z) = I_m \sin \left[\beta \left(\frac{L}{2} - |z| \right) \right]$$



vektorski prikaz struje

Razdioba struje na poluvahnom dipolu



Razdioba struje na poluvahnom dipolu.avi



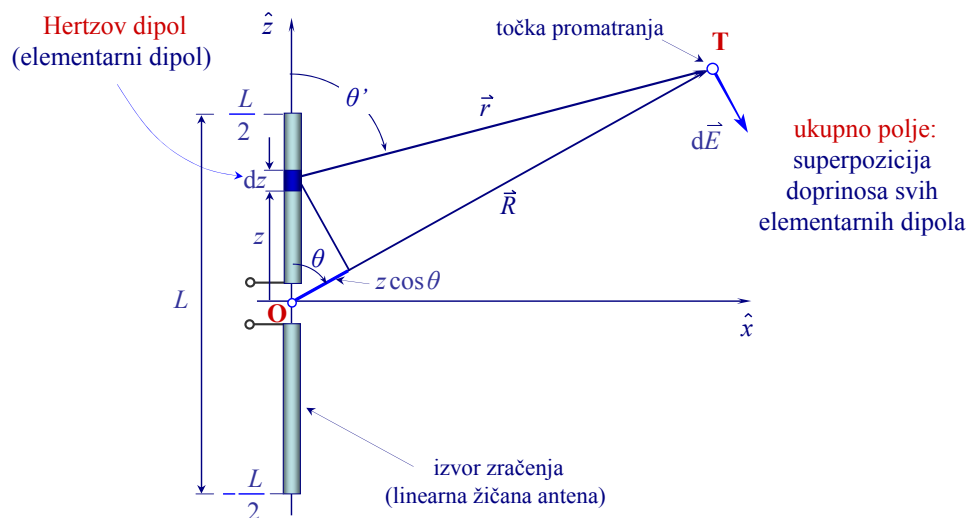
Ideja superpozicije

- Temelja ideja u teoriji antena jest superpozicija.
- Polje koje proizvodi skup izvora jednako je zbroju polja pojedinačnih izvora.



Linearna antena (1)

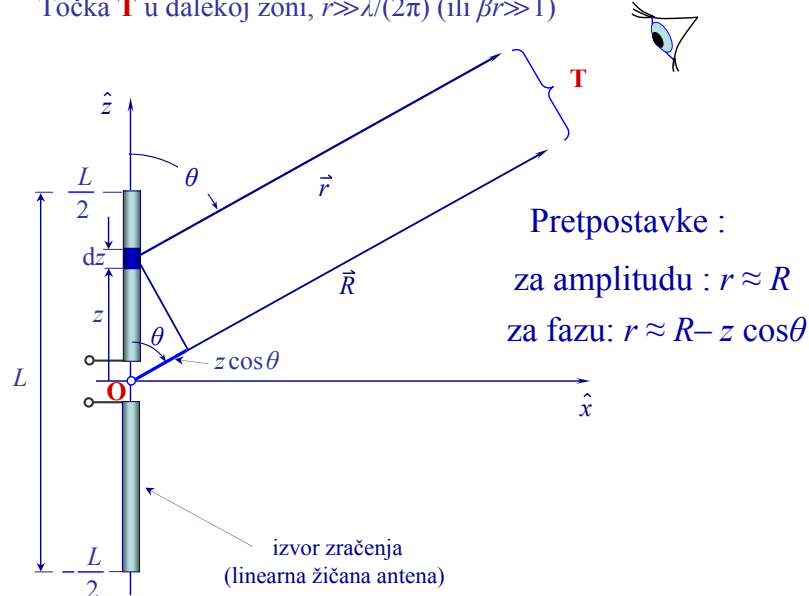
Geometrija problema





Linearna antena (2)

Točka **T** u dalekoj zoni, $r \gg \lambda / (2\pi)$ (ili $\beta r \gg 1$)



Pretpostavke za analizu žičane antene

- Žica (antena) duljine L leži na z -osi pravokutnog koordinatnog sustava, odnosno na polarnoj osi kuglastog koordinatnog sustava.
- Antena se sastoji od bezbroj infinitezimalnih (elementarnih) dipola (ili Hertzovih dipola) duljine dz .
- Fazno središte antene ujedno je i fizičko središte (mjesto pobude), i nalazi se u ishodištu **O** koordinatnog sustava.
- Elementarni dipol smješten je na proizvoljnoj koordinati z .
- R = udaljenost točke promatranja **T** od faznog središta **O**.
- r = udaljenost od elementarnog dipola do točke promatranja **T** i funkcija je koordinate z .
- Polja računamo u dalekoj zoni ($r \gg \lambda$, $r \gg L$).
- Za računanje amplitude vrijedi pretpostavka: $r \approx R$.
- Za računanje faznog kašnjenja vrijedi pretpostavka: $r \approx R - z \cos \theta$.

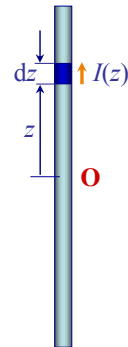


Električno polje u dalekoj zoni pomaknutog Hertzova dipola (1)

Prisjetimo se, u dalekoj zoni, $r \gg \lambda / (2\pi)$ (ili $\beta r \gg 1$), elementarni dipol (Hertzov dipol) stvara infinitezimalno električno polje jakosti:

$$dE_{\theta} = j \frac{\eta \beta I dz}{4\pi r} e^{-j\beta r} \sin \theta \quad \leftarrow \text{Hertzov dipol}$$

dijagram zračenja



Smješten na polarnu os na koordinati z , elementarni dipol u dalekoj zoni stvara infinitezimalno električno polje jakosti:

$$dE_{\theta} = j \frac{60\pi}{r\lambda} \sin \theta I(z) e^{-j\beta r} dz \quad \leftarrow \text{pomaknuti Hertzov dipol}$$

Obratiti pozornost, struja I i polumjer r funkcije su koordinate z !



Električno polje u dalekoj zoni pomaknutog Hertzova dipola (2)

Uvrštenje izraza $r \approx R - z \cos \theta$ u argument eksponencijalne funkcije faznog člana i $r \approx R$ u nazivniku amplitudnog člana daje:

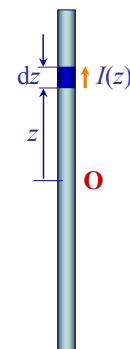
$$dE_{\theta} = j \frac{60\pi}{R\lambda} \sin \theta I(z) e^{-j\beta R} e^{j\beta z \cos \theta} dz$$

Uvrštenje izraza za razdiobu struje :

$$I(z) = I_m \sin \left[\beta \left(\frac{L}{2} - |z| \right) \right]$$

konačno daje:

$$dE_{\theta} = j \frac{60\pi I_m \sin \theta}{R\lambda} e^{-j\beta R} \sin \left[\beta \left(\frac{L}{2} - |z| \right) \right] e^{j\beta z \cos \theta} dz$$





Električno polje u dalekoj zoni linearne žičane antene

Superponiranjem svih doprinosa dobiva se ukupno polje u dalekoj zoni izlazi:

$$E_{\theta} = j \frac{60\pi I_m \sin \theta}{R\lambda} e^{-j\beta R} \int_{-\frac{L}{2}}^{\frac{L}{2}} \sin \left[\beta \left(\frac{L}{2} - |z| \right) \right] e^{j\beta z \cos \theta} dz$$

$$E_{\theta} = j \frac{60\pi I_m \sin \theta}{R\lambda} e^{-j\beta R} \left\{ \int_{-\frac{L}{2}}^0 \sin \left[\beta \left(\frac{L}{2} + z \right) \right] e^{j\beta z \cos \theta} dz + \int_0^{\frac{L}{2}} \sin \left[\beta \left(\frac{L}{2} - z \right) \right] e^{j\beta z \cos \theta} dz \right\}$$

Rješavanjem integrala dobiva se:

$$\beta = 2\pi / \lambda$$

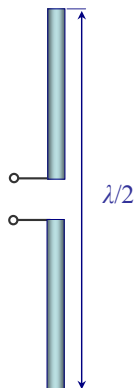
$$E_{\theta} = \frac{60I_m}{R} \frac{\cos \left(\pi \frac{L}{\lambda} \cos \theta \right) - \cos \left(\pi \frac{L}{\lambda} \right)}{\sin \theta}$$

To je posve općenito rješenje za beskonačno tanku linearnu žičanu antenu proizvoljne duljine i za sinusnu razdiobu struje na žici.



Električno polje poluvalnog dipola

$$L = \lambda / 2$$



$$E_{\theta} = \frac{60I_m}{R} \frac{\cos \left(\frac{\pi}{2} \cos \theta \right) - \cancel{\cos \left(\frac{\pi}{2} \right)}}{\sin \theta}$$

$$E_{\theta} = \frac{60I_m}{R} \frac{\cos \left(\frac{\pi}{2} \cos \theta \right)}{\sin \theta}$$

$F(\theta)$

dijagram zračenja

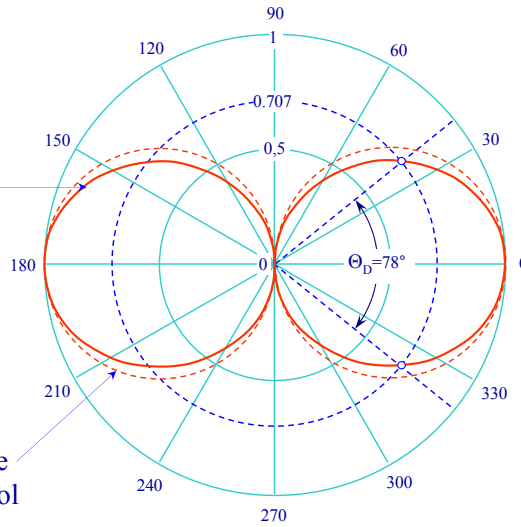


Dijagram zračenja poluvalnog dipola

$$L = \lambda/2$$

Dijagram zračenja u E -ravnini:

$$F(\theta) = \frac{\cos\left(\frac{\pi}{2} \cos\theta\right)}{\sin\theta}$$



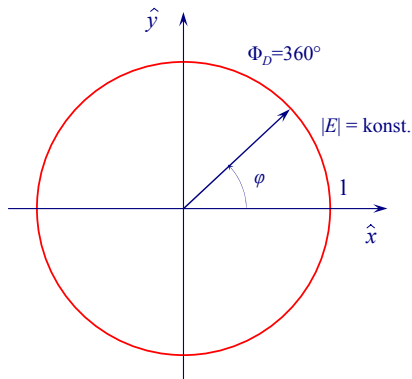
radi usporedbe
za Hertzov dipol
 $F(\theta) = \sin\theta$



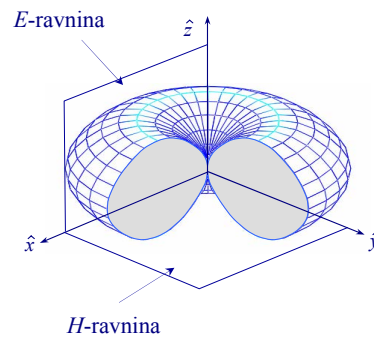
Dijagram zračenja poluvalnog dipola (2)

$$L = \lambda/2$$

H -ravnina



Prostorni dijagram zračenja:





Zračena snaga poluvalnog dipola

$$L = \lambda/2$$

Ukupna zračena snaga P_z poluvalnog dipola može se lako izračunati integriranjem srednje vrijednosti Poyntingova vektora po oplošju zamišljene kugle koja obuhvaća dipol:

$$W_z = \oint_S \langle \vec{P} \rangle \cdot \hat{n} dS = \int_{\theta=0}^{\pi} \int_{\varphi=0}^{2\pi} \frac{|\vec{E}|^2}{2\eta} r^2 \sin(\theta) d\varphi d\theta =$$

$$= 73,13 \frac{I_m^2}{2}$$

↑
otpor zračenja

(iz izraza za snagu $W = \frac{1}{2} |I|^2 R$)



Otpor zračenja poluvalnog dipola

$$L = \lambda/2$$

Pomna analiza pokazuje da uz otpor zračenja, beskonačno tanak poluvalni dipol pokazuje induktivnu reaktanciju 42,5 Ω. Ta je reaktancija posljedica pohranjene energije u poljima u prostoru oko dipola.

Otuda je vlastita impedancija poluvalnog dipola:

$$Z_A = 73,13 + j 42,5 \Omega \quad \leftarrow \text{Važan izraz !}$$

↑
otpor zračenja

↑
reaktancija dipola

Pozitivna vrijednost reaktancije upućuje na činjenicu da na “rezonantnoj frekvenciji” prevladava energija pohranjena u magnetskom polju.



Efektivna duljina poluvalnog dipola

$$L = \lambda/2$$

Primjenom definicije efektivne duljine odašiljačke antene:

$$l_{\text{ef}} = \frac{1}{I(0)} \int_{-\frac{L}{2}}^{\frac{L}{2}} I(z) dz$$

gdje $I(0) = I_m$ dobiva se:

$$l_{\text{ef}} = \frac{1}{I(0)} \int_{-\frac{L}{2}}^{\frac{L}{2}} I_m \sin\left[\beta\left(\frac{L}{2} - |z|\right)\right] dz = 2 \int_0^{\lambda/4} \sin\left[\frac{2\pi}{\lambda}\left(\frac{\lambda}{4} - z\right)\right] dz$$

$$l_{\text{ef}} = 2 \int_0^{\lambda/4} \sin\left(\frac{\pi}{2} - \frac{2\pi}{\lambda}z\right) dz = 2 \int_0^{\lambda/4} \cos\left(\frac{2\pi}{\lambda}z\right) dz = \frac{2}{2\pi/\lambda} \sin\left(\frac{2\pi}{\lambda}z\right) \Big|_0^{\lambda/4} = \frac{\lambda}{\pi}$$

$$l_{\text{ef}} = \frac{\lambda}{\pi} \approx \frac{\lambda}{3}$$



Efektivna površina poluvalnog dipola

$$L = \lambda/2$$

Primjenom veze između efektivne površine i duljine antene:

$$A_{\text{ef}} = \eta \frac{l_{\text{ef}}^2}{4R_z}$$

dobiva se:

$$A_{\text{ef}} = 376,7 \frac{\lambda^2}{4\pi^2 \times 73,13} \approx 0,13\lambda^2$$



Usmjerenost poluvalnog dipola

$$L = \lambda/2$$

Primjenom veze između usmjerenosti i efektivne površine:

$$D = \frac{4\pi}{\lambda^2} A_{\text{ef}}$$

za **usmjerenost poluvalnog dipola** izravno se dobiva:

$$D = \frac{4\pi}{\lambda^2} A_{\text{ef}} = \frac{4\pi}{\lambda^2} 0,13\lambda^2 \approx 1,64 \quad \leftarrow \text{Važan izraz !}$$

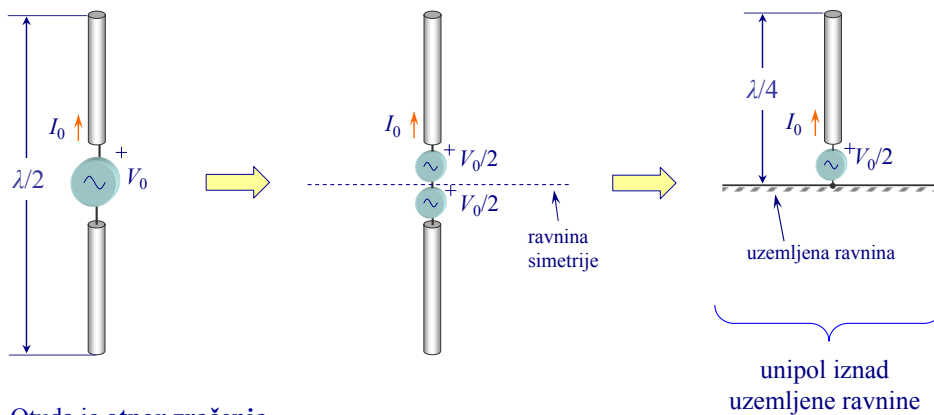
U decibelima, usmjerenost poluvalnog dipola iznosi:

$$10 \log D \approx 2,15 \text{ dB} \quad \leftarrow \text{Važan izraz !}$$



Četvrtvalni unipol (1)

Umjesto poluvalnog dipola može se upotrijebiti četvrtvalni unipol iznad uzemljene savršeno vodljive ravnine. Odslikavanjem dobiva se poluvalni dipol pa je većina obilježja zračenja unipola jednaka obilježjima zračenja dipola.



Otuda je **otpor zračenja**

$$Z_{\text{unipol}} = \frac{Z_{\text{dipol}}}{2} = \frac{73 \Omega}{2} = 36,5 \Omega$$



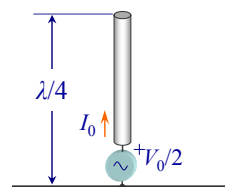
Četvrtvalni unipol (2)

Budući da je zračena snaga unipola uz istu struju jednaka polovini zračene snage dipola, **usmjerenost unipola** dvostruko je veća od usmjerenosti dipola, tj.

$$D = 3,28$$

što u decibelima iznosi:

$$10 \log D \approx 5,15 \text{ dB}$$



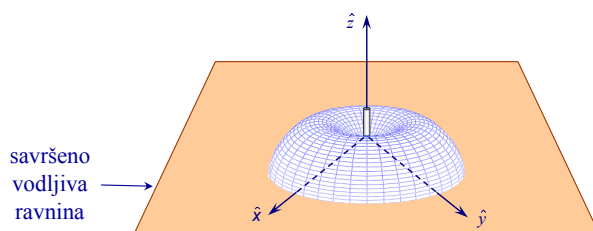
Iz definicije efektivne duljine za **efektivnu visinu** četvrtvalnog unipola izlazi:

$$h_{\text{ef}} = \frac{\lambda}{2\pi} \approx \frac{\lambda}{6}$$



Četvrtvalni unipol (3)

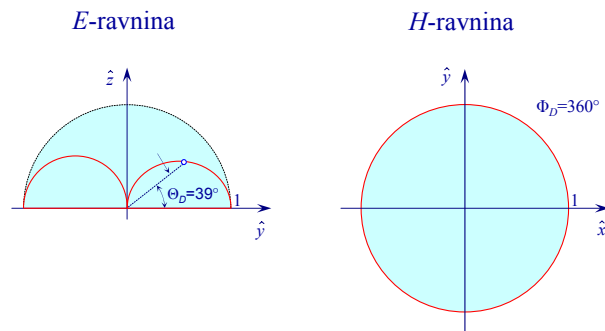
3D dijagram zračenja



Unipol zrači samo u gornji poluprostor !!

Četvrtvalni unipol (4)

2D dijagram zračenja



Dijagram zračenja unipola u E -ravnini odgovara polovici dijagrama zračenja polualnog dipola pa mu je usmjerenost dvostruko veća.

Žičane antene dulje od valne duljine

Za žice dulje od valne duljine, u dijagramu zračenja javljaju se sekundarne latice i/ili višestruke glavne latice. Radi usporedbe, na slici su prikazani prostorni dijagrami zračenja polualnoga dipola, te dipola duljine $1,5 \lambda$; 2λ i 5λ .

